

ФЕДЕРАЛЬНОЕ ГОСУДАРСТВЕННОЕ БЮДЖЕТНОЕ ОБРАЗОВАТЕЛЬНОЕ
УЧРЕЖДЕНИЕ ВЫСШЕГО ОБРАЗОВАНИЯ
«МОСКОВСКИЙ ГОСУДАРСТВЕННЫЙ УНИВЕРСИТЕТ
имени М.В.ЛОМОНОСОВА»

ФИЗИЧЕСКИЙ ФАКУЛЬТЕТ

КАФЕДРА БИОФИЗИКИ

ОТЧЕТ ПО ДИСЦИПЛИНЕ

«ОСНОВЫ МАТЕМАТИЧЕСКОГО МОДЕЛИРОВАНИЯ»

Выполнил студент

303 группы

Астанкович К.А.

Преподаватель:

Белов А.А.

Москва

2024

Содержание

1. Постановка задачи	2
2. Аналитическое решение	2
3. Метод решения	4
3.1 Разностная аппроксимация	4
3.2 Схема переменных направлений	5
3.3 Метод прогонки	6
4. Результаты	6
5. Приложение. Программная реализация	8

1. Постановка задачи

Используя метод переменных направлений, решите краевую задачу:

$$\left\{ \begin{array}{l} \frac{\partial u}{\partial t} = \Delta u + \sin x \cdot \sin t, \quad 0 < x < \pi, \quad 0 < y < 3, \quad t > 0 \\ u|_{x=0} = u|_{x=\pi} = 0, \\ u|_{y=0} = u|_{y=3} = 0, \\ u|_{t=0} = 0 \end{array} \right. \quad (1)$$

2. Аналитическое решение

Решение будем искать в виде:

$$u(x, y, t) = \sum_m^{\infty} \sum_n^{\infty} T_{nm}(t) \cdot V_{nm}(x, y) \quad (2.1)$$

Тогда в результате разделения переменных получим явный вид функций $T_{nm}(t)$ и $V_{nm}(x, y)$, который определяется из решений соответствующей задачи Штурма-Лиувилля и задачи Коши:

$$\left\{ \begin{array}{l} \Delta V + \lambda V = 0, \quad 0 < x < \pi, \quad 0 < y < 3, \\ V|_{x=0} = V|_{x=\pi} = 0, \\ V|_{y=0} = V|_{y=3} = 0 \end{array} \right. \quad (2.2)$$

$$\left\{ \begin{array}{l} \frac{dT}{dt} + \lambda T = f(t), \\ T(0) = 0 \end{array} \right. \quad (2.3)$$

Повторно разделяя переменные в задаче Штурма Лиувилля, получаем две задачи

Штурма-Лиувилля:

$$\begin{cases} X'' + \mu X = 0, & 0 < x < \pi, \\ X|_{x=0} = X|_{x=\pi} = 0 \end{cases} \quad (2.4)$$

$$\begin{cases} Y'' + \nu Y = 0, & 0 < y < 3, \\ Y|_{y=0} = Y|_{y=3} = 0 \end{cases} \quad (2.5)$$

Их решения имеют вид:

$$X_n = \sin(nx), \quad \mu_n = n^2, \quad n = 1, 2, \dots \quad (2.6)$$

$$Y_m = \sin\left(\frac{\pi m y}{3}\right), \quad \nu_m = \left(\frac{\pi m}{3}\right)^2, \quad m = 1, 2, \dots \quad (2.7)$$

Тогда $V_{nm} = \sin(nx) \sin\left(\frac{\pi m y}{3}\right)$, $\lambda_{nm} = \mu_n + \nu_m = n^2 + \left(\frac{\pi m}{3}\right)^2$, $n, m = 1, 2, \dots$ Теперь рассмотрим решение задачи Коши. Для начала получим явный вид функции. Его можно получить, вычислив интеграл:

$$f_{nm} = \frac{1}{\|V_{nm}\|} \iint_D F(x, y, t) V_{nm}(x, y) dx dy \quad (2.8)$$

В нашем случае:

$$\begin{aligned} \|V_{nm}\| &= (V_{nm}, V_{nm}) = \int_0^3 \sin\left(\frac{\pi m y}{3}\right)^2 dy \int_0^\pi \sin^2(nx) dx = \frac{3}{2} \cdot \frac{\pi}{2} = \frac{3\pi}{4}, \\ \iint_D F(x, y, t) V_{nm}(x, y) dx dy &= \int_0^\pi \sin(x) \sin(nx) dx \int_0^3 \sin(t) \sin\left(\frac{\pi m y}{3}\right) dy = \\ &= \begin{cases} 0, & n \neq 1, \\ \frac{\pi}{2} \cdot \frac{3 \cdot (1 - (-1)^m)}{\pi m} \sin t, & n = 1, \end{cases} \end{aligned}$$

Подставим получившиеся выражения в формулу (2.8) и получим:

$$f_{nm} = \begin{cases} 0, & n \neq 1, \quad m = 1, 2, \dots \\ \frac{2 \cdot (1 - (-1)^m)}{\pi m} \sin(t), & n = 1, \quad m = 1, 2, \dots \end{cases} \quad (2.9)$$

Значит, можно рассмотреть два случая задачи Коши и решить их по отдельности:

При $n \neq 1$:

$$\begin{cases} \frac{dT_{nm}(t)}{dt} + \lambda_{nm} T_{nm}(t) = 0, & t > 0, \\ T_{nm}(0) = 0 \end{cases} \quad (2.10)$$

В этом случае:

$$T_{nm}(t) = 0 \quad (2.11)$$

При $n = 1$ введём обозначения: $T_{1m} \equiv T_m(t)$ и $\lambda_{1m} \equiv \lambda_m$. Получаем неоднородное дифференциальное уравнение:

$$\begin{cases} \frac{dT_m(t)}{dt} + \lambda_m T_m(t) = \frac{2 \cdot (1 - (-1)^m)}{\pi m} \sin(t), & t > 0, \\ T_m(0) = 0 \end{cases} \quad (2.12)$$

Его решением является следующее выражение:

$$\begin{aligned} T_m(t) &= \int_0^t e^{-\lambda_m(t-\tau)} \frac{2 \cdot (1 - (-1)^m)}{\pi m} \sin(\tau) d\tau = \\ &= \frac{2 \cdot (1 - (-1)^m)}{\pi m} \frac{e^{-\lambda_m t} + \lambda_m \cdot \sin(t) - \cos(t)}{\lambda_m^2 + 1} \end{aligned}$$

Учтем, что:

$$\frac{2 \cdot (1 - (-1)^m)}{\pi m} = \begin{cases} 0, & m = 2k, k = 1, 2, \dots, \\ \frac{4}{\pi m}, & m = 2k + 1, k = 0, 1, 2, \dots \end{cases} \quad (2.13)$$

получим итоговый ответ:

$$u(x, y, t) = \sum_{k=0}^{\infty} \frac{4}{\pi(2k+1)} \sin(x) \sin\left(\frac{\pi y(2k+1)}{3}\right) \left(\frac{e^{-\lambda_k t} + \lambda_k \cdot \sin(t) - \cos(t)}{\lambda_k^2 + 1} \right), \quad (2.14)$$

где $\lambda_k = 1 + \left(\frac{\pi(2k+1)}{3}\right)^2$

3. Метод решения

3.1 Разностная аппроксимация

Введём разностную сетку в области:

$$D = G \cap [0, T], \text{ где } G = \{(x, y) : 0 \leq x \leq \pi, 0 \leq y \leq 3\}$$

$$x_{i_x} = i_x \cdot h_x, \quad i_x = 0, 1, \dots, N_x, \quad h_x \cdot N_x = \pi$$

$$y_{i_y} = i_y \cdot h_y, \quad i_y = 0, 1, \dots, N_y, \quad h_y \cdot N_y = 3,$$

$$t_j = j \cdot \tau, \quad j = 0, 1, \dots, M, \quad \tau \cdot M = T = 20,$$

где N_x – число узлов по оси абсцисс, N_y – число узлов по оси ординат, M – число узлов по оси времени, h_x и h_y – шаг по соответствующей координате, τ – шаг по времени. Т возьмем заведомо большим. Разностная аппроксимация оператора Лапласа $\Delta u = \Delta_x u + \Delta_y u$, где

$$\Delta_x u = \frac{1}{h_x} \left(\frac{u_{i_x+1, i_y} - u_{i_x, i_y}}{h_x} - \frac{u_{i_x, i_y} - u_{i_x-1, i_y}}{h_x} \right) = \frac{u_{i_x+1, i_y} - 2u_{i_x, i_y} + u_{i_x-1, i_y}}{h_x^2} \quad (3.1.1)$$

$$\Delta_y u = \frac{1}{h_y} \left(\frac{u_{i_x, i_y+1} - u_{i_x, i_y}}{h_y} - \frac{u_{i_x, i_y} - u_{i_x, i_y-1}}{h_y} \right) = \frac{u_{i_x, i_y+1} - 2u_{i_x, i_y} + u_{i_x, i_y-1}}{h_y^2} \quad (3.1.2)$$

В таком случае уравнение для сеточной функции берем в виде:

$$\frac{u^{j+1} - u^j}{\tau} = \Lambda(\sigma u^{j+1} + (1 - \sigma)u^j) + f^{j+\frac{1}{2}}, \quad (3.1.3)$$

где $f^{j+\frac{1}{2}} = \sin x \sin t_{j+\frac{1}{2}}$, а σ – некоторое число в промежутке от нуля до единицы. Начальное условие:

$$u_{i_x, i_y}^0 = 0, \quad \forall i_x = 0, \dots, N_x, \quad \forall i_y = 0, \dots, N_y \quad (3.1.4)$$

Граничные условия:

$$u_{0,i_y}^j = u_{N_x,i_y}^j = 0, \forall i_y = 0, \dots, N_y, \forall j = 0, \dots, M; \quad (3.1.5)$$

$$u_{i_x,0}^j = u_{i_x,N_y}^j = 0, \forall i_x = 0, \dots, N_x, \forall j = 0, \dots, M. \quad (3.1.6)$$

Явная ($\sigma = 0$) и неявная ($\sigma = 1$) схемы имеют одинаковый порядок точности, но различаются в числе операций: $Q_{\text{explicit}} = O\left(\frac{1}{h_x h_y}\right)$, $Q_{\text{implicit}} = O\left(\frac{1}{(h_x h_y)^2}\right)$. Помимо прочего, явная схема является условно устойчивой, а неявная – безусловно. Для оптимального решения задачи нам нужна схема, которая будет безусловно устойчива и при этом иметь минимальное число операций, по этим причинам мы будем использовать альтернативную схему, которая является безусловно устойчивой и имеет объём работ: $Q_{\text{ПН}} = O\left(\frac{1}{h_x h_y}\right)$. Ее название – схема переменных направлений.

3.2 Схема переменных направлений

Разностная аппроксимация нашего уравнения в схеме переменных направлений имеет вид:

$$\frac{u^{j+\frac{1}{2}} - u^j}{0.5\tau} = \Lambda_x u^{j+\frac{1}{2}} + \Lambda_y u^j + f^{j+\frac{1}{2}}, \quad (3.2.1)$$

$$\frac{u^{j+1} - u^{j+\frac{1}{2}}}{0.5\tau} = \Lambda_x u^{j+\frac{1}{2}} + \Lambda_y u^{j+1} + f^{j+\frac{1}{2}} \quad (3.2.2)$$

Переход от слоя j к слою $j+1$ осуществляется в два этапа с шагами $0.5 \cdot \tau$: сначала решается уравнение (3.2.1), неявное по направлению x и явное по направлению y , а затем уравнение (3.2.2), явное по направлению x и неявное по направлению y . Значение $u^{j+\frac{1}{2}}$ является промежуточным и играет вспомогательную роль. Схема переменных направлений безусловно устойчива при любых шагах h_x , h_y и τ .

Используя явный вид разностных операторов Λ_x и Λ_y , для перехода со слоя j на промежуточный слой $j + \frac{1}{2}$ получаем следующую краевую задачу:

$$\begin{cases} \frac{1}{2}\gamma_x u_{i_x-1,i_y}^{j+\frac{1}{2}} - (1 - \gamma_x)u_{i_x,i_y}^{j+\frac{1}{2}} + \frac{1}{2}\gamma_x u_{i_x+1,i_y}^{j+\frac{1}{2}} = -F_{i_x,i_y}^{j+\frac{1}{2}}, \\ u_{0,i_y}^{j+\frac{1}{2}} = u_{N_x,i_y}^{j+\frac{1}{2}} = 0, \end{cases} \quad (3.2.3)$$

где $\gamma_\alpha = \frac{\tau}{h_\alpha^2}$, $\alpha = x, y$ и

$$F_{i_x,i_y}^{j+\frac{1}{2}} = \frac{1}{2}\gamma_y \left(u_{i_x,i_y-1}^j - u_{i_x,i_y+1}^j \right) + (1 - \gamma_y)u_{i_x,i_y}^j + \frac{1}{2}\tau f^{j+\frac{1}{2}}$$

Эта задача решается с помощью метода прогонки при каждом фиксированном $i_y = 1, \dots, N_y - 1$. В результате получаем значения $u^{j+\frac{1}{2}}$ во всех узлах сетки G_x . Аналогично для перехода со слоя $j + \frac{1}{2}$ на слой j получаем:

$$\begin{cases} \frac{1}{2}\gamma_y u_{i_x,i_y-1}^{j+1} - (1 - \gamma_y)u_{i_x,i_y}^{j+1} + \frac{1}{2}\gamma_y u_{i_x,i_y+1}^{j+1} = -F_{i_x,i_y}^{j+1}, \\ u_{i_x,0}^{j+1} = u_{i_x,N_y}^{j+1} = 0, \end{cases} \quad (3.2.4)$$

где

$$F_{i_x,i_y}^{j+1} = \frac{1}{2}\gamma_x \left(u_{i_x-1,i_y}^{j+\frac{1}{2}} - u_{i_x+1,i_y}^{j+\frac{1}{2}} \right) + (1 - \gamma_x)u_{i_x,i_y}^{j+\frac{1}{2}} + \frac{1}{2}\tau f^{j+\frac{1}{2}}$$

Данная задача так же решается методом прогонки при каждом фиксированном $i_x = 1, \dots, N_x - 1$. В результате получаем значение u^{j+1} на новом слое. При переходе от слоя j_k на слой $j_k + 1$ процедура повторяется аналогично.

3.3 Метод прогонки

Метод прогонки применяется к решению системы алгебраических уравнений:

$$\begin{cases} A_m u_{m-1} - B_m u_m + C_m u_{m+1} = F_m, & m = 1, \dots, N-1, \\ u_0 = \alpha_1 u_1 + \beta_1, & u_N = \alpha_2 u_{N-1} + \beta_2 \end{cases} \quad (3.3.1)$$

где либо $B_m > A_m + C_m$, $0 \leq \alpha_{1,2} \leq 1$, либо $B_m \geq A_m + C_m$, $0 \leq \alpha_{1,2} < 1$. В нашем случае эти требования, очевидно, выполняются: $1 + \gamma_\alpha > \frac{1}{2}\gamma_\alpha + \frac{1}{2}\gamma_\alpha = \gamma_\alpha$.

Для решения этой системы предположим, что значения искомой функции в двух любых соседних точках связаны линейным соотношением:

$$u_m = d_{m+1} u_{m+1} + \sigma_{m+1}, \quad (3.3.2)$$

где d_m и σ_m – прогоночные коэффициенты. Тогда, сдвинув индекс на единицу, получим:

$$u_{m-1} = d_m u_m + \sigma_m \quad (3.3.3)$$

Подставим (3.3.3) в уравнение (3.3.1), исключим таким образом u_{m-1} :

$$(A_m d_m - B_m) u_m = -C_m u_{m+1} + F_m - A_m \sigma_m \quad (3.3.4)$$

Используя (3.3.2), исключаем u_m :

$$u_{m+1} [(A_m d_m - B_m) d_{m+1} - C_m] = F_m - A_m d_m - \sigma_{m+1} (A_m d_m - B_m) \quad (3.3.5)$$

Для того, чтобы это соотношение было верно для любых u_{m+1} , нужно, чтобы выражение в квадратных скобках и правая часть были равны нулю. Приравнявая их к нулю, получаем рекуррентные формулы для определения прогоночных коэффициентов:

$$d_{m+1} = \frac{C_m}{B_m - A_m d_m}, \quad \sigma_{m+1} = \frac{F_m - A_m \sigma_m}{A_m d_m - B_m}. \quad (3.3.6)$$

Используя граничные условия, найдём: $d_1 = \alpha_1$, $\sigma_1 = \beta_1$. Далее совершаем прогонку в направлении возрастания индекса, последовательно определяя значения коэффициентов d_m и σ_m для $m = 1, \dots, N$. На правом конце имеем два соотношения, связывающие u_{N-1} и u_N : $u_{N-1} = d_N u_N + \sigma_N$ и $u_N = \alpha_2 u_{N-1} + \beta_2$. Из этих уравнений находим:

$$n_N = \frac{\alpha_2 \sigma_N + \beta_2}{1 - \alpha_2 d_N} \quad (3.3.7)$$

При $d_1 = \alpha_1$ и всех условиях, наложенных при постановке задачи, получаем из рекуррентных формул, что $d_m < 1$ для $m = 2, \dots, N$. Учитывая, что $\alpha_2 \leq 1$, получаем знаменатель в выражении для u_N положительным. Следовательно, и значение u_N определено.

Используя найденное u_N , делаем обратную прогонку в сторону уменьшающихся значений индекса, последовательно определяя из рекуррентных формул значения u_m . Число операций при поиске решения задачи (3.3.1) пропорционально числу узлов в слое.

4. Результаты

Программа была написана на языке программирования Python. Количество узлов для временной оси: $M = 10$, $\tau = \frac{T}{M} = \frac{10}{10} = 1$; количество узлов по оси x : $N_x = 20$,

$h_x = 1.58 \cdot 10^{-1}$; количество узлов по оси y : $N_y = 20$, $h_y = 1.5 \cdot 10^{-1}$. Результатом работы программы является набор графиков численного и аналитического решений $u(x,y,t)$, а также ошибки численного решения в разные моменты времени.

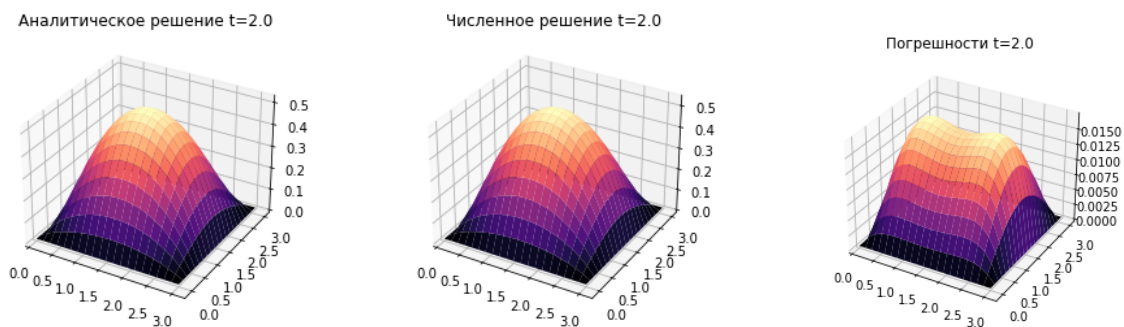


Рис. 1: Решения и погрешности для $t=2$ сек

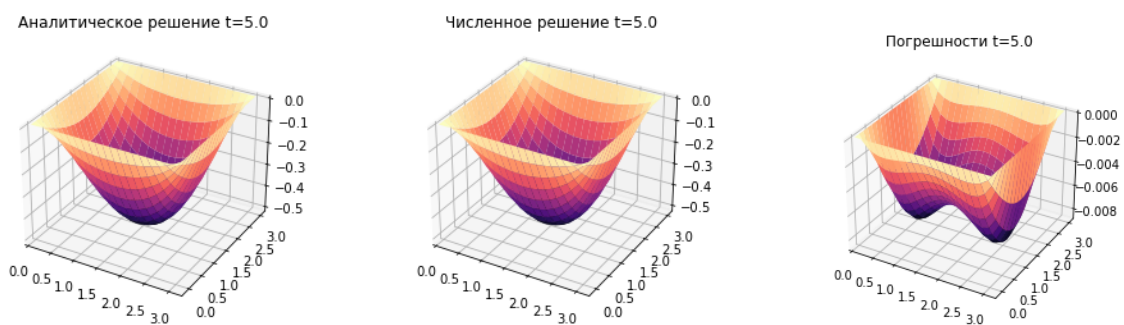


Рис. 2: Решения и погрешности для $t=5$ сек

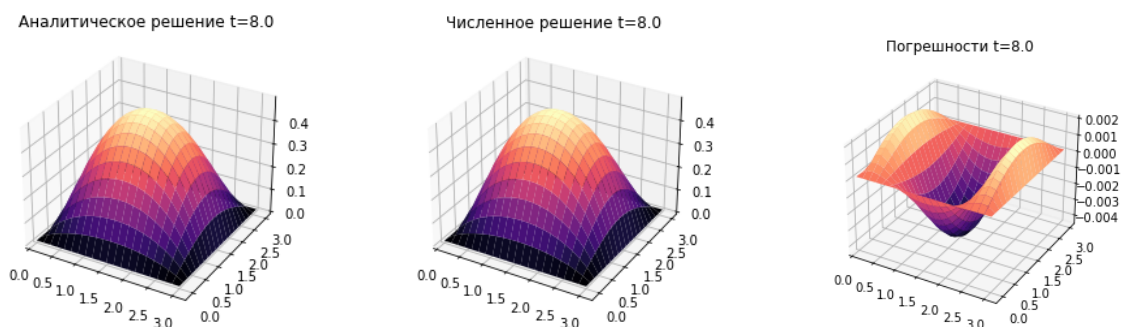


Рис. 3: Решения и погрешности для $t=8$ сек

5. Приложение. Программная реализация

```

1 import matplotlib.pyplot as plt
2 import math
3 from math import pi as pi
4 from numpy import zeros,exp,sin, linspace, meshgrid,empty,cos,arctan,tan,
    max,min
5 from numpy.linalg import norm
6 from matplotlib.pyplot import plot, figure, axes, show, subplot
7 from sympy import symbols,diff,exp,atan,tan
8 #-----Input
9 x_l=0;x_r=pi
10 y_l=0;y_r=3
11 t_begin=0;t_end=10
12 J=10;N=20;M=20
13 Time_show=[2, 5, 8]
14 a_c=1
15 Type_boundary_condition_X=[0,0] # == 0
16 Type_boundary_condition_Y=[0,0] # == 1
17 def cz(i):
18     f=(i*pi)**2/9+1
19     return f
20 def norm_xy(i):
21     f=2*(1-cos(i*pi))/i/pi
22     return f
23 def fourier_t(t,i):
24     f=1/(cz(i)**2+1)*(exp(-cz(i)*t)+cz(i)*sin(t)-cos(t))
25     return f
26 def Function_analysis(t,x,y):
27     l=50
28     sum=0 # i=0
29     for i in range(1,l,1):
30         sum=(sum+fourier_t(t,i)*norm_xy(i)*
31             sin(x)*sin(i*pi*y/3))
32     return sum
33 def Function_begin(x,y):
34     f=0
35     return f
36 def Function_right(t,x,y):
37     f=sin(x)*sin(t)
38     return f
39 #-----Def
40 def Choic_type_boundary_condition_X_for_scheme(type_l,type_r):
41     x=zeros(N+1)
42     if type_l==0 and type_r==0:
43         h=(x_r-x_l)/N
44         for n in range(N+1):
45             x[n]=x_l+n*h
46     if type_l==1 and type_r==0:
47         h=(x_r-x_l)/(N-1/2)
48         for n in range(N+1):
49             x[n]=x_l-h/2+n*h
50     if type_l==0 and type_r==1:
51         h=(x_r-x_l)/(N-1/2)
52         for n in range(N+1):

```



```

53         x[n]=x_l+n*h
54     if type_l==1 and type_r==1:
55         h=(x_r-x_l)/(N-1)
56         for n in range(N+1):
57             x[n]=x_l-h/2+n*h
58     return x,h
59 def Choic_type_boundary_condition_Y_for_scheme(type_l,type_r):
60     y=zeros(M+1)
61     if type_l==0 and type_r==0:
62         l=(y_r-y_l)/M
63         for n in range(M+1):
64             y[n]=y_l+n*l
65     if type_l==1 and type_r==0:
66         l=(y_r-y_l)/(M-1/2)
67         for n in range(M+1):
68             y[n]=y_l-l/2+n*l
69     if type_l==0 and type_r==1:
70         l=(y_r-y_l)/(M-1/2)
71         for n in range(M+1):
72             y[n]=y_l+n*l
73     if type_l==1 and type_r==1:
74         l=(y_r-y_l)/(M-1)
75         for n in range(M+1):
76             y[n]=y_l-l/2+n*l
77     return y,l
78 def Layer_Time():
79     t = zeros(J + 1)
80     tau = (t_end - t_begin) / J
81     for j in range(J + 1):
82         t[j] = t_begin + j * tau
83     return t,tau
84 def graph_function_analysis(u,ax_zmax,ax_zmin,time_show):
85     fig = figure()
86     ax = axes(projection='3d')
87     X, Y = meshgrid(y, x)
88     ax.plot_surface(X, Y, u, rstride=1, cstride=1, cmap='magma')
89     ax.set_title('t={0}'.format(
90         time_show*tau))
91     ax.set_ylim(x_l-0.2,x_r)
92     ax.set_xlim(y_l,y_r+0.2)
93     show()
94     return
95 def Slove_progonka(N,a,b,c,parameter,f):
96     # parameter[0)f0 1)fN 2)b0 3)aN 4)c0 5)cN] ; a=a_i b=b_i c=c_i f=f_i
97     Y=zeros(N+1)
98     alpha=zeros(N)
99     beta=zeros(N)
100    alpha[0]=parameter[2]/(-parameter[4])
101    beta[0]=parameter[0]/parameter[4]
102    # :
103    for n in range(0,N-1,1):
104        alpha[n+1]=b/(-c-a*alpha[n])
105        beta[n+1]=(a*beta[n]-f[n+1])/(-c-a*alpha[n])
106    # :

```

```

106 Y[N]=(-parameter[1]+parameter[3]*beta[N-1])/(-parameter[5]-parameter
    [3]*alpha[N-1])
107 for n in range(N-1,-1,-1):
108     Y[n]=alpha[n]*Y[n+1]+beta[n]
109 return Y
110 def Choic_type_boundary_condition_for_progonka_parameter(type_l,type_r):
111 # parameter[0]f0 1)fN 2)b0 3)aN 4)c0 5)cN] ; a=a_i b=b_i c=c_i f=f_i
112 parameter=zeros(6)
113 if type_l==0 and type_r==0:
114     parameter=[0,0,0,0,1,1]
115 if type_l==1 and type_r==0:
116     parameter=[0,0,1,0,-1,1]
117 if type_l==0 and type_r==1:
118     parameter = [0, 0, 0,-1, 1, 1]
119 if type_l==1 and type_r==1:
120     parameter = [0, 0, 1, -1, -1, 1]
121 return parameter
122 def graph_function_numberals(u,ax_zmax,ax_zmin,time_show):
123 fig = figure()
124 ax = axes(projection='3d')
125 X, Y = meshgrid(y, x)
126 ax.plot_surface(X, Y, u, rstride=1, cstride=1, cmap='magma')
127 ax.set_title('                                t={0}'.format(
    time_show*tau))
128 ax.set_ylim(x_l-0.2,x_r)
129 ax.set_xlim(y_l,y_r+0.2)
130 show()
131 return
132 def graph_function_errors(u,time_show):
133 fig = figure()
134 ax = axes(projection='3d')
135 X, Y = meshgrid(y, x)
136 ax.plot_surface(X, Y, u, rstride=1, cstride=1, cmap='magma')
137 ax.set_title('                                t={0}'.format(time_show*tau))
138 ax.set_ylim(x_l-0.2,x_r)
139 ax.set_xlim(y_l,y_r+0.2)
140 show()
141 return
142
143 #-----
144 x,h=Choic_type_boundary_condition_X_for_scheme(Type_boundary_condition_X
    [0],Type_boundary_condition_X[1])
145 y,l=Choic_type_boundary_condition_Y_for_scheme(Type_boundary_condition_Y
    [0],Type_boundary_condition_Y[1])
146 t,tau=Layer_Time()
147 #-----
148 U_analysis=zeros((((J+1,N+1,M+1)))
149 for j in range(J+1):
150     for n in range(N + 1):
151         for m in range(M + 1):
152             U_analysis[j,n,m]=Function_analysis(t[j],x[n],y[m])
153 ax_zmax=max(U_analysis) ; ax_zmin=min(U_analysis)
154
155 #-----

```

```

156 W_integer=zeros(((J+1,N+1,M+1)))
157 W_half=zeros(((J+1,N+1,M+1)))
158 f_right=zeros(((J+1,N+1,M+1)))
159 for n in range(N + 1):
160     for m in range(M + 1):
161         W_integer[0,n,m]=Function_begin(x[n],y[m])
162 paramater_X=Choic_type_boundary_condition_for_progonka_parameter(
163     Type_boundary_condition_X[0],Type_boundary_condition_X[1])
164 paramater_Y=Choic_type_boundary_condition_for_progonka_parameter(
165     Type_boundary_condition_Y[0],Type_boundary_condition_Y[1])
166
167 for j in range(J):
168     for n in range(N+1):
169         for m in range(M+1):
170             f_right[j,n,m]=tau/2*Function_right(t[j]+0.5*tau,x[n],y[m])
171     for m in range(1,M,1):
172         fi_x=zeros(N+1)
173         fi_x[:]=-(W_integer[j,:,m]+0.5*a_c*tau/l**2*(W_integer[j,:,m+1]-2*
174             W_integer[j,:,m]+W_integer[j,:,m-1])+f_right[j,:,m])
175         W_half[j,:,m]=Slove_progonka(N,0.5*a_c*tau/h**2,0.5*a_c*tau/h
176             **2,-(a_c*tau/h**2+1),paramater_X,fi_x)[: ]
177     for n in range(1,N,1):
178         fi_y=zeros(M+1)
179         fi_y[:]=-(W_half[j,n,:]+0.5*a_c*tau/h**2*(W_half[j,n+1,:]-2*W_half
180             [j,n,:]+W_half[j,n-1,:])+f_right[j,n,:])
181         W_integer[j+1,n,:]=Slove_progonka(M,0.5*a_c*tau/l**2,0.5*a_c*tau/l
182             **2,-(a_c*tau/l**2+1),paramater_Y,fi_y)[: ]
183 for j in range(1,J+1,1):
184     for m in range(0,M+1,1):
185         W_integer[j,0,m]=Type_boundary_condition_X[0]*W_integer[j,1,m]
186         W_integer[j,N,m]=Type_boundary_condition_X[1]*W_integer[j,N-1,m]
187 U_numerals=W_integer
188 Errors=U_numerals-U_analysis
189 for i in range(3):
190     graph_function_analysis(U_analysis[Time_show[i]],ax_zmax,ax_zmin,
191         Time_show[i])
192     graph_function_numerals(U_numerals[Time_show[i]],ax_zmax,ax_zmin,
193         Time_show[i])
194     graph_function_errors(Errors[Time_show[i]],Time_show[i])

```